



**Revista Eletrônica
Paulista de Matemática**

ISSN 2316-9664
Volume 14, fev. 2019
Edição Ermac

**Natalia Caroline Lopes
Travassos**

UNESP- Universidade Estadual
Paulista "Júlio de Mesquita
Filho".
nataliacaroline2006@gmail.com

**Marco Aparecido Queiroz
Duarte**

UEMS - Universidade Estadual
de Mato Grosso do Sul,
Cassilândia.
marco@uems.br

Francisco Villarreal Alvarado

UNESP- Universidade Estadual
Paulista "Júlio de Mesquita
Filho".
villa@mat.feis.unesp.br

Estudo de revisão e proposta de aprimoramento para o armazenamento de imagens comprimidas via transformada wavelet

Review study and improvement proposal for compressed
images storage via wavelet transform

Resumo

Este trabalho tem por objetivo fazer um estudo de revisão de quatro artigos, dos quais, três abordam métodos de armazenamento e reconstrução de imagens e o quarto vai além, apresentando alguns progressos em relação aos três primeiros. Os trabalhos estudados podem ser aplicados apenas em imagens de dimensões $m \times n$, sendo $m = n = 2^k$, e utilizam a função wavelet de Daubechies de ordem 6 (db6), ao passo que este artigo estende a aplicação para imagens onde m e n são quaisquer, além de substituir a função db6 pela função biortogonal 4.4 (bior4.4) que permite obter uma imagem com menor degradação visual em relação ao processamento feito com a db6 e que retorna menos coeficientes na decomposição wavelet, fazendo com que o vetor de armazenamento ocupe menos espaço. Outro diferencial deste trabalho em relação aos artigos revisados está no uso de mais duas métricas de avaliação da qualidade das imagens reconstruídas, sendo elas o erro quadrático médio e a similaridade estrutural.

Palavras-chave: Compressão. Armazenamento. Reconstrução. Transformada wavelet.

Abstract

The objective of this work is to do a review of four articles, of which three deal with methods of storing and reconstructing images, and the fourth goes further, presenting some progress in relation to previous ones. The studied works can be applied only to images of $m \times n$ dimensions, where $m = n = 2^k$, and use the db6, whereas this article extends the application to images where m and n are any, in addition to replace the db6 function by bior4.4 function that allows to obtain an image with less visual degradation in relation to the processing done with db6 and that returns less coefficients in the wavelet decomposition, making the storage vector to occupy less space. Another difference of this work in relation to the reviewed articles is the use of two more metrics to evaluate the quality of the reconstructed images, which were the root mean square error and the structural similarity.

Keywords: Compression. Storage. Reconstruction. Wavelet transform.



1 Introdução

A grande quantidade de informações trocadas nos dias atuais faz com que a compressão de sinais seja algo altamente desejado em diversos ambientes. Neste trabalho será tratado um sinal em particular, a saber, uma imagem. Uma ferramenta matemática que se destaca no processamento de imagens é a transformada wavelet (DAUBECHIES, 1992). Devido às propriedades da análise de multirresolução, a transformada wavelet possibilita que uma imagem seja decomposta em vários níveis de resolução de forma que suas características sejam totalmente explicitadas (DAUBECHIES, 1992; MALLAT, 1989; STOLLNITZ; DEROSE; SALESIN, 1995). Isto possibilita uma análise detalhada da mesma e uma compressão muito eficaz (COIFMAN, 1990).

Um aspecto de grande interesse é o armazenamento de uma imagem na memória do computador. Um exemplo que apresenta essa necessidade é o problema com imagens médicas, já que elas são grandes em tamanho, e assim, laboratórios e hospitais necessitam de uma grande quantidade de largura de banda para enviar e receber imagens. “Considerando um hospital que faça ressonância magnética, tomografia computadorizada, radiografia computadorizada, etc., pode-se estimar que serão produzidos de 5 a 15 GB de dados por dia” (BAIRAGI, 2015, p.718). Neste caso, e em tantos outros, é necessário comprimir estes dados utilizando uma técnica de compressão, isso porque uma imagem, depois de discretizada e codificada, carrega consigo uma quantidade muito grande de informação, e eventualmente ocupará muito espaço para o seu armazenamento.

Existem dois tipos de compressão de imagem: com perdas e sem perdas. Na compressão sem perdas, a imagem original é recuperada exatamente após a descompressão, ao contrário da compressão com perdas, que será abordada neste trabalho (WALKER; NGUYEN, 2001). A codificação baseada em wavelets fornece melhorias substanciais na qualidade da imagem para altas taxas de compressão. Ao longo dos últimos anos, uma variedade de métodos poderosos e sofisticados de compressão com perdas, como o esquema de codificação EZW (embedded zerotree wavelet), SPIHT (set partitioning in hierarchical trees), WDR (wavelet difference reduction) e ASWDR (adaptively scanned wavelet difference reduction) foram desenvolvidos (PAN; SIU; LAW, 2008). Os métodos típicos de compressão sem perdas são: algoritmo Huffman, LZW, compressão aritmética ou compressão run-length (WU; OTOO; SHOSHANI, 2006).

Este estudo faz uma revisão dos trabalhos de Silva (2008), Silva, Duarte e Villarreal (2011), Travassos, Duarte e Villarreal (2016) e Travassos, Duarte e Villarreal (2018), além de propor uma adaptação a este último trabalho, a fim de tornar possível a compressão, codificação e reconstrução de imagens coloridas de dimensões $m \times n$, não sendo mais necessário ter $m = n = 2^k$. Outro avanço encontra-se na substituição da wavelet de Daubechies de ordem 6 (db6), pela biortogonal 4.4 (bior4.4). Para atestar a qualidade das imagens processadas pela bior4.4, além da PSNR, outras duas métricas foram utilizadas: *MSE* e *SSIM*.

O restante do texto é organizado da seguinte forma: Na Seção 2 são apresentados os algoritmos de Silva (2008), Silva, Duarte e Villarreal (2011), Travassos, Duarte e Villarreal (2016) e Travassos, Duarte e Villarreal (2018). Na Seção 3 são apresentadas as três contribuições propostas; e os testes encontram-se na Seção 4, onde é feita a comparação dos resultados usando a wavelet bior4.4 e db6; por fim, na Seção 5 são dadas as considerações finais.



2 Armazenamento de imagens comprimidas: uma revisão

Como exemplo, considere uma matriz A , que representa uma imagem de dimensões 4×4 , \hat{A} , sua versão decomposta pela transformada wavelet discreta (TWD) e A_L a matriz após aplicação do limiar rígido (DONOHO; JOHNSTONE, 1994):

$$A = \begin{bmatrix} a_{11} & a_{12} & a_{13} & a_{14} \\ a_{21} & a_{22} & a_{23} & a_{24} \\ a_{31} & a_{32} & a_{33} & a_{34} \\ a_{41} & a_{42} & a_{43} & a_{44} \end{bmatrix} \xrightarrow{TWD} \hat{A} = \begin{bmatrix} b_{11} & c_{12} & b_{13} & c_{14} \\ b_{21} & c_{22} & b_{23} & c_{24} \\ b_{31} & c_{32} & c_{33} & c_{34} \\ b_{41} & c_{42} & c_{43} & c_{44} \end{bmatrix} \xrightarrow{\text{limiar}} A_L = \begin{bmatrix} b_{11} & 0 & b_{13} & 0 \\ b_{21} & 0 & b_{23} & 0 \\ b_{31} & 0 & 0 & 0 \\ b_{41} & 0 & 0 & 0 \end{bmatrix}$$

Em \hat{A} , os coeficientes representados por b_{ij} são coeficientes significativos, enquanto que os que estão representados por c_{ij} são redundantes, ou seja, podem ser eliminados, pois estão abaixo de um limiar a ser definido. A matriz A_L é uma matriz esparsa, com poucos coeficientes representativos. Por isso, só há a necessidade de armazenar tais coeficientes.

2.1 Método de Silva (2008)

Silva (2008) propôs a criação de um vetor, denominado V_cod , capaz de representar a matriz comprimida. Logo, para a matriz A_L , V_cod é dado na equação (1):

$$V_cod = [4 \quad b_{11} \quad 1 \quad 1 \quad b_{13} \quad 1 \quad 3 \quad b_{21} \quad 2 \quad 1 \quad b_{23} \quad 2 \quad 3 \quad b_{31} \quad 3 \quad 1 \quad b_{41} \quad 4 \quad 1], \quad (1)$$

sendo que o número 4 na primeira posição indica a dimensão da matriz quadrada. Após o valor do primeiro elemento, b_{11} , os números 1 e 1 indicam que este coeficiente se encontra na linha 1 e na coluna 1 e, assim por diante. Assim, para uma matriz transformada e comprimida de ordem m , o vetor V_cod é escrito, de modo geral, como na equação (2):

$$V_cod = [m \quad b_{i_1 j_1} \quad i_1 \quad j_1 \quad b_{i_2 j_2} \quad i_2 \quad j_2 \quad \dots \quad b_{i_R j_R} \quad i_R \quad j_R], \quad (2)$$

onde R representa a quantidade de elementos não-nulos da matriz A_L , i_r e j_r a linha e a coluna, respectivamente, em que se encontra o elemento $b_{i_r j_r}$, com $r = 1, \dots, R$.

2.2 Método de Silva, Duarte e Villarreal (2011)

A fim de reduzir o tamanho do vetor V_cod , Silva, Duarte e Villarreal (2011) propuseram um novo vetor denominado V_cod_mat , que ao invés de armazenar os valores de i_r e j_r , armazenaria um único valor $a_{i_r j_r}^3$. Sendo assim, tal proposta causa uma redução de praticamente um terço do espaço computacional necessário para o armazenamento de uma imagem comprimida quando comparamos os vetores V_cod e V_cod_mat , respectivamente. Em seu artigo, Silva, Duarte e Villarreal (2011) detalham como é possível obter $a_{i_r j_r}^3$ a partir de i_r e j_r depois que uma sequência de operações matemáticas. Em 2016, Travassos, Duarte e Villarreal (2016) mostraram que todas as operações feitas para obter $a_{i_r j_r}^3$ poderiam ser substituídas por uma função invertível. A regra de correspondência dessa função é dada em (3) e sua inversa, usada na decodificação, é a função dada pela equação (4).

$$N: D_m = \{1, 2, \dots, m\} \times \{1, 2, \dots, m\} \rightarrow I_m = \{3, 4, \dots, m^2 + 2\}$$

$$(i, j) \mapsto N(i, j) = a_{i_r j_r}^3 = -(m - 2) + mi + j. \quad (3)$$

90

$$M(a_{ij}^3) = \left(\frac{a_{ij}^3 - 3 - \text{mod}(a_{ij}^3 - 3, m)}{m} + 1, \text{mod}(a_{ij}^3 - 3, m) + 1 \right), \quad (4)$$

91

92 e para $a, b \in \mathbb{R}$, $\text{mod}(a, b)$ retorna o resto da divisão de a por b .

93

94 Para a matriz A_L do início dessa seção, V_cod_mat é dado na equação (5), e para uma ma-
95 triz transformada e comprimida de ordem m , o vetor V_cod_mat é escrito, de modo geral,
96 como na equação (6):

97

$$V_cod_mat = [4 \quad b_{11} \quad 3 \quad b_{13} \quad 5 \quad b_{21} \quad 7 \quad b_{23} \quad 9 \quad b_{31} \quad 11 \quad b_{41} \quad 15]. \quad (5)$$

98

$$V_cod_mat = [m \quad b_{i_1 j_1} \quad a_{i_1 j_1}^3 \quad b_{i_2 j_2} \quad a_{i_2 j_2}^3 \quad \dots \quad b_{i_R j_R} \quad a_{i_R j_R}^3]. \quad (6)$$

99

100 **2.3 Método de Travassos, Duarte e Villarreal (2016)**

101

102 Travassos, Duarte e Villarreal (2016) propuseram que o vetor V_cod_mat fosse reduzido,
103 criando assim o vetor V_cod_prop . Para isso, bastava criar uma função f capaz de relacionar
104 b_{ij} , i e j de tal modo que $f(b_{ij}, i, j) = f(b_{ij}, a_{ij}^3)$. Para cada pixel e suas coordenadas,
105 $f(b_{ij}, a_{ij}^3) = k_r$ é armazenado em um vetor que é usado na reconstrução da imagem sem que
106 sua qualidade seja comprometida. Sendo assim, o vetor V_cod_prop é descrito em (7):

107

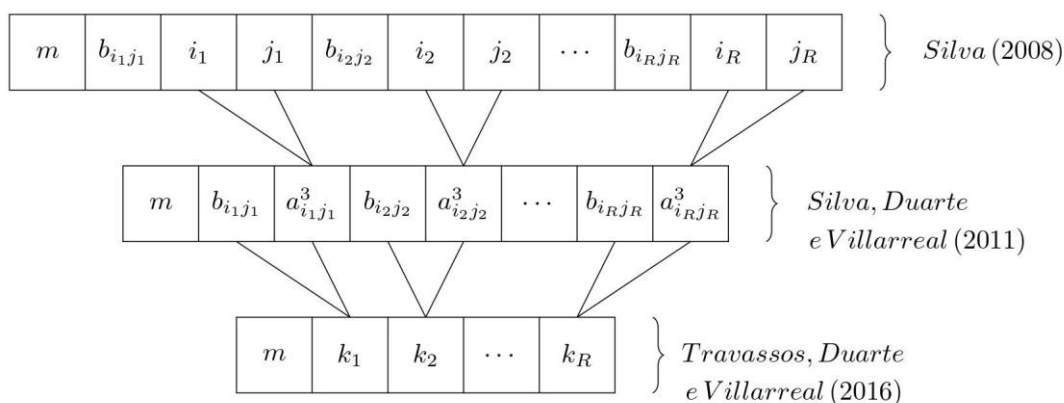
$$V_cod_prop = [m \quad k_1 \quad k_2 \quad k_3 \quad \dots \quad k_R]. \quad (7)$$

108

109 Nesse trabalho os autores usaram $f(b_{ij}, a_{ij}^3) = \text{sign}(b_{ij})(\log_{m^5}|b_{ij}| + a_{ij}^3) = k_r$. Para
110 determinar a_{ij}^3 e b_{ij} através de k_r basta substituí-lo nas equações $a_{ij}^3 = \lfloor |k_r| \rfloor$ e $b_{ij} =$
111 $\text{sign}(k_r)(m^5)^{\lfloor |k_r| - \lfloor |k_r| \rfloor \rfloor}$, respectivamente. sign representa a função sinal, que retorna 1, -1
112 ou 0, se o argumento for positivo, negativo ou nulo, respectivamente.113 De modo geral pode-se resumir a evolução entre os três vetores de armazenamento pro-
114 postos, de acordo com a Figura 1:

115

116

Figura 1 - Redução do vetor de armazenamento de imagens comprimidas

117

118

Fonte: Elaboração da autora



119 Portanto, o método de Travassos, Duarte e Villarreal (2016) é em média 66,66% mais
 120 econômico que o de Silva (2008), e é em média 49,99% mais econômico que o de Silva, Du-
 121 arte e Villarreal (2011).

122

123 2.4 Contribuições de Travassos, Duarte e Villarreal (2018)

124

125 O trabalho de Travassos, Duarte e Villarreal (2018) teve por objetivo mostrar a evolução
 126 obtida com os três métodos citados nas seções 2.1, 2.2 e 2.3, além de propor três importantes
 127 contribuições a este último trabalho, que serão detalhadas nas subseções a seguir.

128

129 2.4.1 Criando funções invertíveis

130

131 O trabalho de Travassos, Duarte e Villarreal (2016) apresentou uma única função f tal que
 132 $f(b_{ij}, a_{ij}^3) = k_r$. Travassos, Duarte e Villarreal (2018) propuseram uma maneira prática de
 133 construir funções f que satisfizessem tal igualdade e que fossem invertíveis, o que possibili-
 134 tou a reconstrução da imagem comprimida através do vetor V_{cod_prop} .

135 Para cada $m \in \{2^n : n \in \mathbb{N}\}$ seja $I_m = \{3, 4, \dots, m^2 + 2\}$. Considere o problema de deter-
 136 minar uma função invertível $f: \mathbb{R} \times I_m \rightarrow \mathbb{R}$ que a cada par $(b_{ij}, a_{ij}^3) \in \mathbb{R} \times I_m$ faz corres-
 137 ponder um único número $f(b_{ij}, a_{ij}^3)$. Como a variável a_{ij}^3 é sempre um número natural, se
 138 considerarmos uma função $g: \mathbb{R} \rightarrow [0, 1)$ e definirmos

139

$$f(b_{ij}, a_{ij}^3) = g(b_{ij}) + a_{ij}^3, \quad (8)$$

140

141 então pode-se facilmente determinar a_{ij}^3 a partir de $f(b_{ij}, a_{ij}^3)$ aplicando a função piso ($\lfloor x \rfloor$),
 142 que arredonda x na direção de menos infinito. Logo,

143

$$\lfloor f(b_{ij}, a_{ij}^3) \rfloor = a_{ij}^3. \quad (9)$$

144

145 Para se determinar a variável b_{ij} a partir de $f(b_{ij}, a_{ij}^3)$, observe que (8) e (9) implicam em
 146 (10).

147

$$f(b_{ij}, a_{ij}^3) - \lfloor f(b_{ij}, a_{ij}^3) \rfloor = g(b_{ij}). \quad (10)$$

148

149 Supondo que a função g seja invertível, então de (10) é possível determinar a variável b_{ij}
 150 a partir de $f(b_{ij}, a_{ij}^3)$, segundo a equação (11).

151

$$g^{-1}(f(b_{ij}, a_{ij}^3) - \lfloor f(b_{ij}, a_{ij}^3) \rfloor) = g^{-1}(g(b_{ij})) = b_{ij}. \quad (11)$$

152

153 Logo, se $g: \mathbb{R} \rightarrow [0, 1)$ é uma função invertível, a função f definida pela equação (8) será
 154 invertível, e sua inversa é dada pela equação (12).

155

$$f^{-1}(k) = (g^{-1}(k - \lfloor k \rfloor), \lfloor k \rfloor). \quad (12)$$

156

157 Portanto, o problema de determinar uma função invertível $f: \mathbb{R} \times I_m \rightarrow \mathbb{R}$ pode ser resu-
 158 mido a encontrar uma função $g: \mathbb{R} \rightarrow [0, 1)$ que seja invertível e definir f pela equação (8).



159 Como exemplo, Travassos, Duarte e Villarreal (2018) apresentaram a função (13) que sa-
160 tisfaz tais condições. Sua inversa é a função dada na equação (14).

$$f(b_{ij}, a_{ij}^3) = \frac{\tan^{-1}(b_{ij})}{\pi} + \frac{1}{2} + a_{ij}^3 = k_r. \quad (13)$$

$$f^{-1}(k_r) = \left(\tan \left(\pi \left(k_r - \lfloor k_r \rfloor - \frac{1}{2} \right) \right), \lfloor k_r \rfloor \right). \quad (14)$$

162 Este método para a criação de funções invertíveis possibilita a reconstrução exata da ima-
163 gem comprimida, fazendo com que não haja o erro de aproximação obtido em Travassos, Du-
164 arte e Villarreal (2016). Ainda vale a pena dizer que o uso de uma função no armazenamento
165 de imagens comprimidas torna o processo mais rápido.

166 2.4.2 Taxa de compressão

167 Os trabalhos de Silva (2008) e Silva, Duarte e Villarreal (2011) não permitem que o usuá-
168 rio escolha uma taxa de compressão. A cada imagem fornecida, o próprio código define um
169 limiar para cada linha da matriz e esse limiar determina quantos coeficientes serão eliminados
170 em cada linha; após eliminar os coeficientes da última linha é obtida a taxa de compressão.
171 Com o intuito de aprimorar tal método, Travassos, Duarte e Villarreal (2016) apresentaram
172 uma versão modificada do algoritmo, onde o usuário pode dizer ao algoritmo a taxa de com-
173 pressão mínima desejada. Apesar de representar uma evolução, pode acontecer de a taxa de
174 compressão obtida ser muito superior à taxa mínima. Para contornar este problema, Trava-
175 ssos, Duarte e Villarreal (2018) propuseram outra alteração no código, que permite obter exata-
176 mente a mesma taxa de compressão escolhida pelo usuário.

177 Desse modo, um vetor recebe os coeficientes da matriz transformada, os ordena e, de
178 acordo com a taxa de compressão, determina quantos elementos devem ser eliminados para
179 que a mesma seja atingida. Dentre os menores elementos a serem eliminados, o maior é esco-
180 lhido para ser o limiar.

181 Embora pareça simples, a proposta de determinação de uma taxa de compressão a priori
182 proporcionou grande economia no tempo de processamento dos métodos de Silva (2008) e
183 Silva, Duarte e Villarreal (2011). Além disso, foi possível contornar o problema de Travassos,
184 Duarte e Villarreal (2016), onde havia a possibilidade de encontrar uma taxa de compressão
185 superior à desejada.

186 2.4.3 Processamento de imagens coloridas

187 Os trabalhos de Silva (2008), Silva, Duarte e Villarreal (2011) e Travassos, Duarte e Vil-
188 larreal (2016) abordaram apenas a compressão, armazenamento e reconstrução de imagens em
189 escala de cinza, pois todo o processamento é feito em apenas um canal da imagem, o canal R
190 (vermelho).

191 Usando o método de armazenamento de Travassos, Duarte e Villarreal (2016), Travassos,
192 Duarte e Villarreal (2018) conseguiram processar imagens coloridas, armazená-las e recons-
193 truí-las.



3 Contribuições propostas

Travassos, Duarte e Villarreal (2018) propuseram um método para comprimir, armazenar e reconstruir imagens coloridas cujas dimensões fossem $m \times n$, sendo $m = n = 2^k$, $k \in \mathbb{N}$. Neste estudo, propõe-se estender tal algoritmo para abranger os casos de imagens onde m e n são quaisquer ($m, n > 0$), e não necessariamente $m = n = 2^k$, $k \in \mathbb{N}$.

O processo de armazenamento da imagem codificada é semelhante ao dos trabalhos estudados, porém com algumas modificações: Dada uma imagem, o algoritmo verifica qual o comprimento da maior dimensão, para definir o nível máximo de decomposição que poderá ser aplicado. Na sequência, é feita a decomposição wavelet em todos os níveis e os coeficientes são armazenados em um vetor.

Seja C o vetor que contém os coeficientes da decomposição wavelet, sendo $C(j)$ cada elemento e m o seu comprimento. Após definirmos uma taxa de compressão é feita a limiarização, e os elementos de C que estão abaixo do limiar tornam-se zeros.

Usando a função apresentada na equação (13), e fazendo as substituições necessárias tem-se a nova função dada na equação (15). Observe que nesse caso temos $i = 1$, pois deixaremos de trabalhar com matrizes, passando a trabalhar apenas com vetores, que no caso têm apenas uma linha.

$$\begin{aligned}
 f(b_{ij}, a_{ij}^3) &= f(C(j), a_{ij}^3) = \frac{\tan^{-1}(C(j))}{\pi} + \frac{1}{2} + a_{ij}^3 \\
 &= \frac{\tan^{-1}(C(j))}{\pi} + \frac{1}{2} - (m - 2) + mi + j \\
 &= \frac{\tan^{-1}(C(j))}{\pi} + \frac{1}{2} - m + 2 + mi + j \\
 &= \frac{\tan^{-1}(C(j))}{\pi} + \frac{5}{2} - m + m + j \\
 &= \frac{\tan^{-1}(C(j))}{\pi} + \frac{5}{2} + j, \quad j = 1, \dots, m. \quad (15)
 \end{aligned}$$

Com a função f dada na equação (15) é possível armazenar apenas os coeficientes transformados e que estão acima do limiar definido, em um vetor de armazenamento (que chamaremos de V). V recebe em sua primeira posição o comprimento do vetor C , e nas demais receberá o número obtido da equação (15). Usando a inversa da função f torna-se possível reconstruir qualquer imagem comprimida de dimensões $m \times n$, $m, n \in \mathbb{N}^*$. Para encontrar a função f^{-1} basta fazer substituições análogas na equação (14).

No trabalho de Travassos, Duarte e Villarreal (2018) a wavelet usada para decomposição e reconstrução da imagem foi a db6. Neste trabalho, propõe-se sua substituição pela biortogonal 4.4 (bior4.4), com todos os níveis de decomposição.

Silva (2008) justificou sua escolha pela wavelet db6 afirmando que a mesma possuía o número ideal de momentos nulos, segundo a literatura. O número de momentos nulos é uma propriedade útil na compressão de imagens, pois de modo genérico, mais momentos nulos implicam em uma melhor compressão. Desse modo, os trabalhos de Silva, Duarte e Villarreal (2011), Travassos, Duarte e Villarreal (2016) e Travassos, Duarte Villarreal (2018) seguiram utilizando a db6.

Existem duas famílias de funções muito usadas em aplicações de processamento de imagens: as wavelets ortogonais de Daubechies e as wavelets biortogonais. Apesar da popularidade das wavelets de Daubechies, por sua ortogonalidade e suporte compacto, a bior4.4 tam-



241 bém é fortemente usada nos trabalhos de compressão de imagens, pois fornece bons resulta-
 242 dos, haja vista que os filtros biortogonais proporcionam suporte compacto, simetria e regula-
 243 ridade, sendo estas condições essenciais para conseguir um bom desempenho na compressão
 244 de imagens (SADASHIVAPPA; ANANDABABU, 2009). Sendo assim, este trabalho realizou
 245 diversos testes com um conjunto de imagens de tamanhos distintos, e usando diversas funções
 246 ortogonais e biortogonais. Dos resultados obtidos, a wavelet biortogonal bior4.4 obteve bom
 247 desempenho em todos os testes, não necessariamente sendo a melhor, mas estando sempre
 248 entre as melhores e com desempenho superior a db6 em cerca de 85% dos testes, além de for-
 249 necer menos coeficientes de decomposição e, por isso, foi a escolhida.

250

251 3.1 Medidas para avaliação da qualidade das imagens comprimidas

252

253 Seja $X(i, j)$ a imagem original e $X_c(i, j)$ a imagem reconstruída de dimensões $m \times n$. As
 254 métricas usadas para avaliar a qualidade da imagem reconstruída foram MSE , $PSNR$ e $SSIM$.
 255 As fórmulas do MSE , $PSNR$ e $SSIM$, são apresentadas nas equações (16), (17) e (19), respec-
 256 tivamente.

257 O MSE (*Mean Square Error*) representa o erro quadrático médio entre a imagem original
 258 e uma com compressão. Ele é a soma do quadrado das diferenças de cada ponto da imagem
 259 original e da imagem reconstruída, dividido pela multiplicação das dimensões da imagem.
 260 Quanto menor o valor do MSE , melhor a imagem reconstruída se aproxima da original.

261

$$MSE = \frac{1}{mn} \sum_{i=0}^{m-1} \sum_{j=0}^{n-1} |X(i, j) - X_c(i, j)|^2. \quad (16)$$

262

263 A $PSNR$ (*Peak Signal to Noise Ratio*) é medida em decibéis. Quanto maior seu valor, mel-
 264 hor a qualidade da imagem comprimida ou reconstruída. Valores típicos para compressão
 265 com perdas de uma imagem estão entre 30 e 50 dB. Quando a $PSNR$ é maior que 40 dB, as
 266 duas imagens são indistinguíveis (WALKER; NGUYEN, 2001).

267

$$PSNR = 10 \cdot \log_{10} \left(\frac{L_{max}^2}{MSE} \right). \quad (17)$$

268 sendo L_{max} o valor máximo de intensidade de cinza.

269 As métricas MSE e $PSNR$ são conhecidas por se correlacionar fracamente com a qualida-
 270 de visual para a maioria das aplicações, sendo assim, será usada mais uma métrica chamada
 271 $SSIM$ (*Structural Similarity*). A $SSIM$ é uma métrica de qualidade de imagem que avalia o
 272 impacto visual de três características de uma imagem: luminância, contraste e estrutura
 273 (WANG et al, 2004). Assim, o índice $SSIM$ de avaliação de qualidade baseia-se no cálculo de
 274 três termos, a saber, o termo de luminância, o termo de contraste e o termo estrutural. O índi-
 275 ce geral é uma combinação multiplicativa dos três termos, dada pela equação (18).

276

$$SSIM(x, y) = l(x, y)^\alpha \cdot c(x, y)^\beta \cdot e(x, y)^\gamma. \quad (18)$$

277 sendo

$$l(x, y) = \left(\frac{2\mu_x\mu_y + C_1}{\mu_x^2 + \mu_y^2 + C_1} \right),$$

278

$$c(x, y) = \left(\frac{2\sigma_x\sigma_y + C_2}{\sigma_x^2 + \sigma_y^2 + C_2} \right),$$

$$e(x, y) = \left(\frac{\sigma_{xy} + C_3}{\sigma_x \sigma_y + C_3} \right).$$

279 onde $\mu_x, \mu_y, \sigma_x, \sigma_y$ e σ_{xy} são as médias locais, os desvios padrão e a covariância cruzada para
 280 as imagens x, y . C_1, C_2 e C_3 são as constantes de regularização para a luminância, contraste e
 281 termos estruturais, respectivamente. A *SSIM* usa essas constantes de regularização para evitar
 282 instabilidade em regiões de imagem em que a média local ou o desvio padrão é próximo de
 283 zero. Portanto, pequenos valores diferentes de zero devem ser usados para essas constantes.

284 Se $\alpha = \beta = \gamma = 1$ (o padrão para os expoentes) e $C_3 = C_2/2$ (seleção padrão de C_3), po-
 285 de-se simplificar o índice conforme a equação (19).

$$SSIM(x, y) = \frac{(2\mu_x\mu_y + C_1)(2\sigma_{xy} + C_2)}{(\mu_x^2 + \mu_y^2 + C_1)(\sigma_x^2 + \sigma_y^2 + C_2)}. \quad (19)$$

287 4 Resultados

288 Nesta seção, as melhorias propostas serão aplicadas em algumas imagens. As imagens uti-
 289 lizadas nos testes foram: Lena, Airplane e Monarch, de tamanhos 128×128 , 256×256 , e
 290 768×512 , respectivamente, mostradas na Figura 2. As figuras de 3 a 8 mostram os resultados
 291 para diferentes taxas de compressão aplicadas às imagens de teste. As tabelas de 1 a 6 mos-
 292 tram os valores da *PSNR*, *MSE* e *SSIM* para cada imagem comprimida. A fim de comparação
 293 foram usadas duas wavelets, db6 e bior4.4.

294 **Figura 2** - Imagens originais



Fonte: Public-Domain Test Images for Homeworks and Projects¹

298

299

300 **Figura 3** - Imagem Lena com diferentes taxas de compressão usando a wavelet bior4.4



¹ Disponível em: <<http://homepages.cae.wisc.edu/~ece533/images/index.html>>. Acesso em: 29 jan. 2019.

301



302

303

304

Tabela 1 - Métricas de avaliação da qualidade da imagem Lena com compressão usando a wavelet bior4.4

Imagem	PSNR	MSE	SSIM
(a)	47.7390	1.0944	0.9996
(b)	43.7136	2.7652	0.9990
(c)	39.2572	7.7154	0.9973
(d)	34.3257	24.0167	0.9918
(e)	28.5026	91.7944	0.9711

305

306

Figura 4 - Imagem Lena com diferentes taxas de compressão usando a wavelet db6



307

308

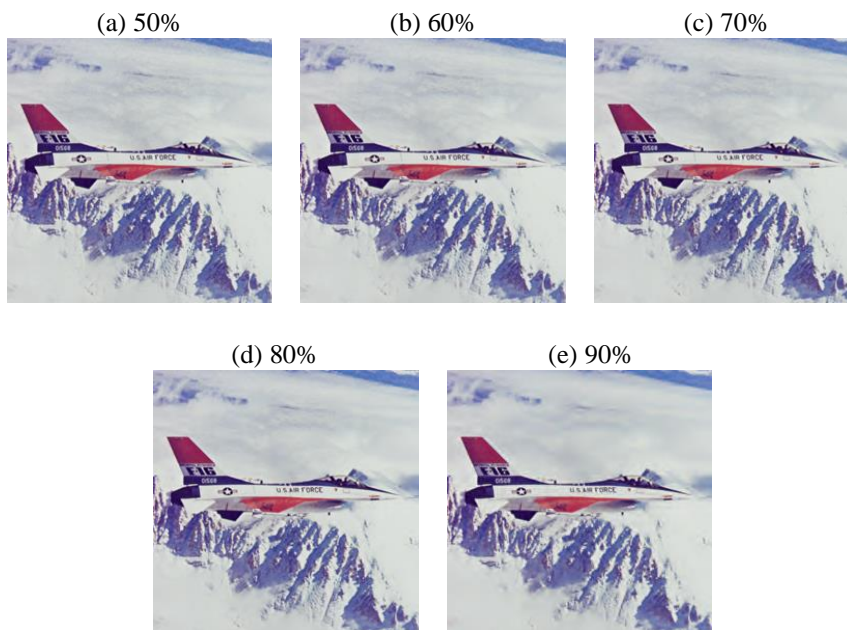
309

Tabela 2 - Métricas de avaliação da qualidade da imagem Lena com compressão usando a wavelet db6

Imagem	PSNR	MSE	SSIM
(a)	45.9387	1.6566	0.9994
(b)	41.6334	4.4641	0.9984
(c)	37.0161	12.9260	0.9955
(d)	32.1471	39.6615	0.9866
(e)	26.3979	149.0361	0.9538

310

311 **Figura 5** - Imagem Airplane com diferentes taxas de compressão usando a wavelet bior4.4



312

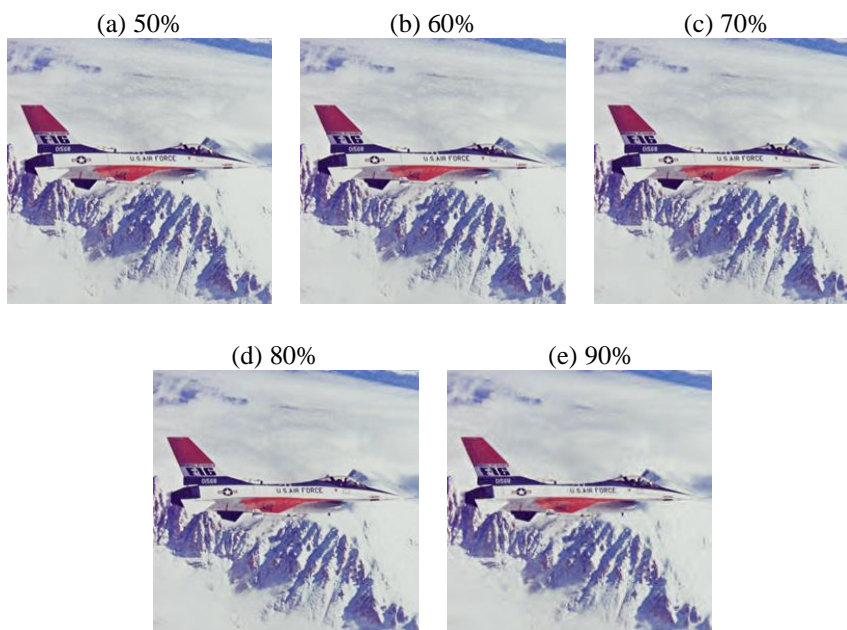
313
314
315

Tabela 3 - Métricas de avaliação da qualidade da imagem Airplane com compressão usando a wavelet bior4.4

Imagem	PSNR	MSE	SSIM
(a)	51.0215	0.5140	0.9957
(b)	47.6886	1.1072	0.9919
(c)	44.0525	2.5576	0.9855
(d)	39.5517	7.2095	0.9736
(e)	33.5634	28.6247	0.9434

316
317

Figura 6 - Imagem Airplane com diferentes taxas de compressão usando a wavelet db6



318

319

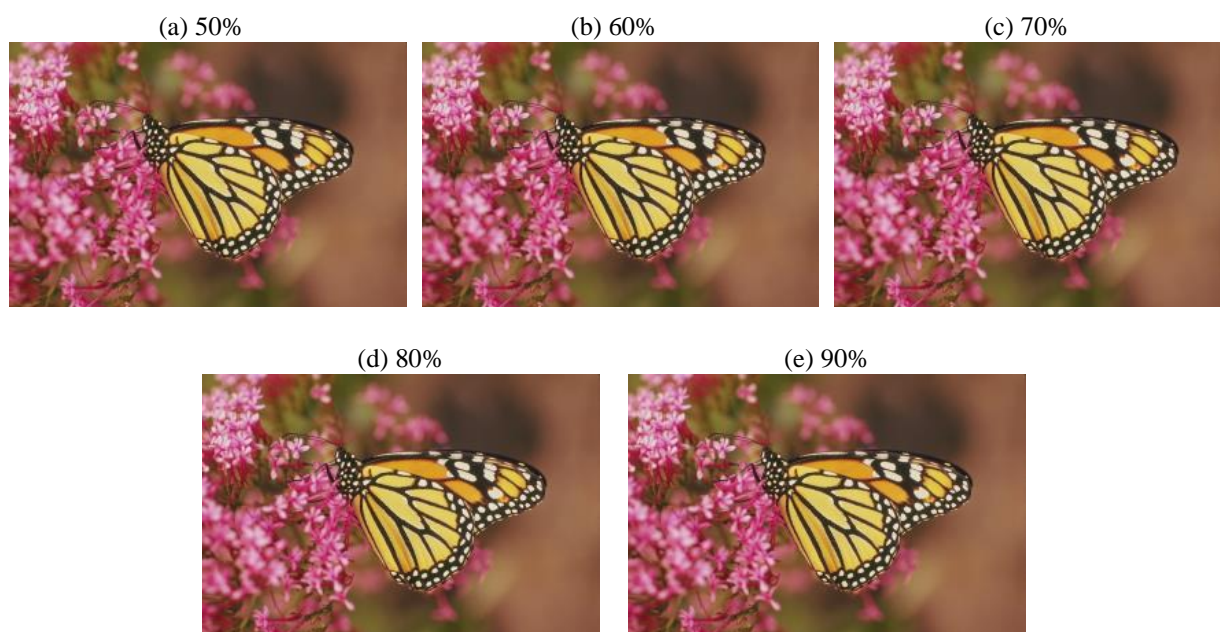
320
321

Tabela 4 - Métricas de avaliação da qualidade da imagem Airplane com compressão usando a wavelet db6

Imagem	PSNR	MSE	SSIM
(a)	50.1710	0.6251	0.9948
(b)	46.6927	1.3926	0.9903
(c)	42.8474	3.3755	0.9824
(d)	38.2394	9.7530	0.9680
(e)	32.2721	38.5360	0.9290

322
323

Figura 7 - Imagem Monarch com diferentes taxas de compressão usando a wavelet bior4.4



324

325
326
327

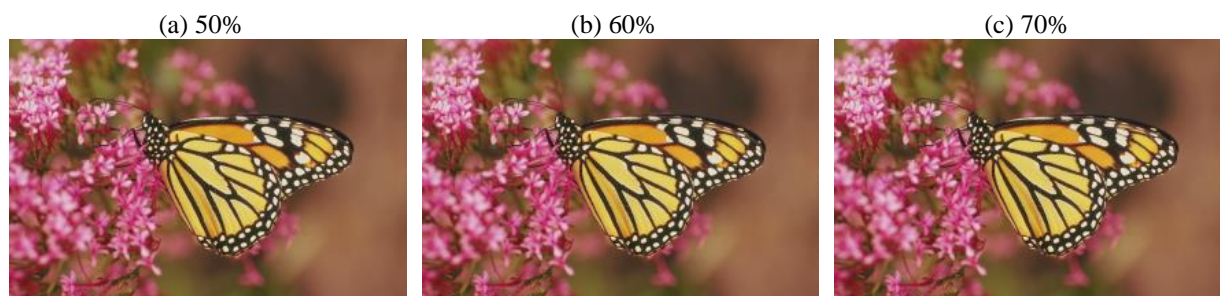
Tabela 5 - Métricas de avaliação da qualidade da imagem Monarch com compressão usando a wavelet bior4.4

Imagem	PSNR	MSE	SSIM
(a)	52.3088	0.3821	0.9997
(b)	49.7853	0.6832	0.9995
(c)	47.3234	1.2043	0.9991
(d)	44.5410	2.2855	0.9984
(e)	39.4042	7.4587	0.9960

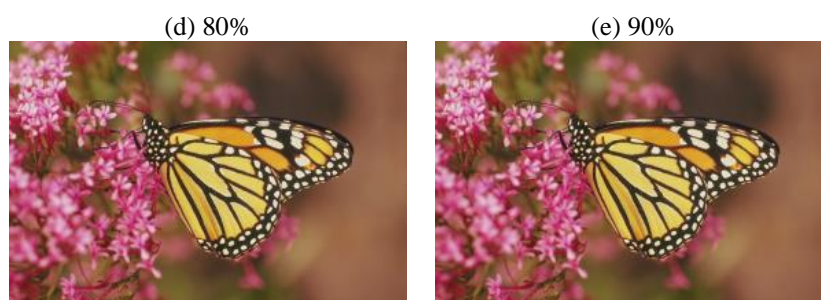
328

329

Figura 8 - Imagem Monarch com diferentes taxas de compressão usando a wavelet db6



330



331

332

333

Tabela 6 - Métricas de avaliação da qualidade da imagem Monarch com compressão usando a wavelet db6

Imagem	PSNR	MSE	SSIM
(a)	51.9717	0.4130	0.9997
(b)	49.4463	0.7387	0.9994
(c)	46.9165	1.3226	0.9990
(d)	43.9240	2.6344	0.9982
(e)	38.2801	9.6621	0.9950

334

335

336

337

338

De acordo com as tabelas apresentadas, a wavelet bior4.4 mostra melhor desempenho quando comparada a db6. Os valores da *PSNR*, *MSE* e *SSIM* obtidos ao processar cada imagem atestam o melhor desempenho da bior4.4 provando seu impacto na qualidade da imagem reconstruída.

339

340

341

342

343

O tamanho da imagem pode ser entendido como a qualidade da imagem. Portanto, quanto maior a dimensão, mais imperceptível será a degradação visual e melhor será a qualidade da imagem reconstruída, embora a qualidade também dependa da taxa de compressão, uma vez que altas taxas de compressão para imagens de baixa resolução podem resultar em degradações perceptíveis.

344

345

346

347

348

349

Os testes realizados mostraram que a db6 tem baixo desempenho para as imagens de dimensão menor, ao passo que apresenta bons resultados para as imagens de dimensão maior. Porém, os resultados da bior4.4 foram satisfatórios para os três tamanhos de imagens testados. Dependendo da imagem, existem outras wavelets com resultados melhores, porém a bior4.4 foi escolhida por sempre estar entre as funções que forneceram melhor *PSNR*, *MSE* e *SSIM* nos testes realizados para a escolha da wavelet a ser usada.

350

351

352

5 Considerações finais

353

354

355

356

357

358

359

360

361

362

363

Este trabalho apresentou uma revisão de quatro métodos recentes de compressão e codificação de imagens, propondo a extensão para imagens de qualquer dimensão e com novas métricas de avaliação. Os trabalhos de Silva (2008), Silva, Duarte e Villarreal (2011) e Travassos, Duarte e Villarreal (2016) são voltados ao processamento de imagens quadradas de dimensão 2^k , em escala de cinza. Travassos, Duarte e Villarreal (2018) estenderam o processamento às imagens coloridas, e em complemento a este trabalho, o método proposto processa imagens de tamanho $m \times n$ com m, n quaisquer, abrangendo assim todos os tipos de imagem.

Além de estender a codificação para imagens de qualquer dimensão, foram feitos testes com outros filtros wavelets verificando que a wavelet bior4.4 possibilita melhores resultados que a wavelet que foi usada nos quatro métodos anteriores. A eficiência da nova proposta pode ser verificada ao se aplicar as medidas de qualidade usadas nos testes, pois os valores



364 obtidos mostram que é possível obter altas taxas de compressão, e conseqüentemente uma
365 codificação que ocupe pouco espaço de memória, sem que haja perda de qualidade na imagem
366 restaurada.

367 Vale a pena ressaltar que as mudanças alcançadas pelo uso da wavelet bior4.4 vão além
368 dos avanços na qualidade da imagem reconstruída, pois a decomposição com tal wavelet for-
369 nece menos coeficientes em relação a decomposição com a db6. Sendo assim, como são ne-
370 cessários menos coeficientes para representar uma mesma imagem, o tamanho do vetor de
371 codificação terá menos elementos, fazendo com que seu tempo de decodificação seja reduzi-
372 do.

373

374 **6 Agradecimentos**

375

376 O presente trabalho foi realizado com apoio da Coordenação de Aperfeiçoamento de Pes-
377 soal de Nível Superior - Brasil (CAPES) - Código de Financiamento 001.

378

379 **7 Referências bibliográficas**

380

381 BAIRAGI, V. K. Symmetry-based biomedical image compression. **Journal of Digital**
382 **Imaging**, v. 28, n. 6, p. 718-726, 2015.

383

384 COIFMAN, R. Adapted multiresolution analysis, computation, signal processing and operator
385 theory. In: **Proceedings of the International Congress of Mathematicians**. Kyoto:
386 Springer-V., 1990. p. 879-887.

387

388 DAUBECHIES, I. **Ten lectures on wavelets**. Philadelphia: Siam, 1992.

389

390 DONOHO, D. L.; JOHNSTONE, J. M. Ideal spatial adaptation by wavelet shrinkage.
391 **Biometrika**, v. 81, n. 3, p. 425-455, 1994.

392

393 GOMES, J.; VELHO, L.; GOLDENSTEIN, S. **Wavelets: teoria, software e aplicações**. Rio
394 de Janeiro: IMPA, 1997.

395

396 MALLAT, S. G. A theory for multiresolution signal decomposition: the wavelet
397 representation. **IEEE Transactions on Pattern Analysis and Machine Intelligence**, v. 11, n.
398 7, p. 674-693, 1989.

399

400 PAN, H.; SIU, W-C; LAW, N-F. A fast and low memory image coding algorithm based on
401 lifting wavelet transform and modified SPIHT. **Signal Processing: Image Communication**, v.
402 23, n. 3, p. 146-161, 2008.

403

404 PEDRINI, H.; SCHWARTZ, W. R. **Análise de imagens digitais: princípios, algoritmos e**
405 **aplicações**. São Paulo: Thomson Learning, 2008.

406

407 SADASHIVAPPA, G.; ANANDABABU, K. V. S. Evaluation of wavelet filters for image
408 compression. **International Journal of Electrical, Computer, Energetic, Electronic and**
409 **Communication Engineering**, v. 3, n. 3, p. 430-436, 2009.

410



- 411 **SILVA, J. F. Sistema de armazenamento de imagens comprimidas através da**
412 **transformada wavelet.** 2008. 100 f. Dissertação (Mestrado em Engenharia Elétrica)-
413 Universidade Estadual Paulista “Julio de Mesquita Filho”, Ilha Solteira, 2008.
- 414
415 **SILVA, J. F.; DUARTE, M. A. Q.; VILLARREAL, F.** Um método para codificação de
416 imagens digitais no domínio wavelet. In: CONFERÊNCIA BRASILEIRA DE DINÂMICA,
417 CONTROLE E APLICAÇÕES, 10., 2011, Águas de Lindóia. **Anais...** São Carlos: SBMAC,
418 2011. p. 731-734.
- 419
420 **STOLLNITZ, E. J.; DEROSE, T. D.; SALESIN, D. H.** Wavelets for computer graphics: a
421 primer, part 1. **IEEE Computer Graphics and Applications**, v. 15, n. 3, p. 76-84, 1995.
- 422
423 **TRAVASSOS, N. C. L.; DUARTE, M. A. Q.; VILLARREAL, F.** Encoding and decoding
424 compressed images in the wavelet domain. In: ENCONTRO NACIONAL DE
425 MODELAGEM COMPUTACIONAL, 19.; ENCONTRO DE CIÊNCIA E TECNOLOGIA
426 DE MATERIAIS, 7., 2016, João Pessoa. **Anais...** João Pessoa: Universidade Federal da
427 Paraíba, 2016.
- 428
429 **TRAVASSOS, N. C. L.; DUARTE, M. A. Q.; VILLARREAL, F.** Estudo e aprimoramento de
430 métodos para armazenamento de imagens comprimidas. In: ENCONTRO REGIONAL DE
431 MATEMÁTICA APLICADA E COMPUTACIONAL, 5., 2018, Bauru. **Caderno de**
432 **trabalhos completos e resumos...** Bauru: Unesp, Faculdade de Ciências, 2018. p. 140-146.
433 Disponível em:< [https://drive.google.com/file/d/1-](https://drive.google.com/file/d/1-8SZZnioKApdmQG6BaOTltJARzfwAB9P/view)
434 [8SZZnioKApdmQG6BaOTltJARzfwAB9P/view](https://drive.google.com/file/d/1-8SZZnioKApdmQG6BaOTltJARzfwAB9P/view)>. Acesso em: 29 jan. 2019.
- 435
436 **WALKER, J. S.; NGUYEN, T. Q.** Wavelet-based image compression. In: RAO, R.; YIP; P.C.
437 (Ed.). **The transform and data compression handbook.** Boca Raton: CRC, c2001.
- 438
439 **WANG, Z. et al.** Image quality assessment: from error visibility to structural similarity. **IEEE**
440 **Transactions on Image Processing**, v. 13, n. 4, p. 600-612, 2004.
- 441
442 **WU, K.; OTOO, E. J.; SHOSHANI, A.** Optimizing bitmap indices with efficient
443 compression. **ACM Transactions on Database Systems**, v. 31, n. 1, p. 1-38, 2006.